



دانشکده علوم پایه

« گروه فیزیک »

پایان نامه کارشناسی ارشد فیزیک

عنوان

# مطالعهٔ پراکندگی ناکشسان عمیق در فرآیند پراش

نگارش

فاطمه اربابی فر

استاد راهنما

دکتر علی خرمیان

شهریور ۱۳۸۸



دانشگاه سمنان

دانشکده علوم پایه

گروه فیزیک

پایان نامه کارشناسی ارشد فیزیک

تحت عنوان

مطالعه پراکندگی ناکشسان عمیق در فرآیند پراش

ارائه شده توسط

فاطمه اربابی فر

در تاریخ ۲۶ شهریور ماه ۱۳۸۸ توسط کمیته تخصصی زیر مورد بررسی و تصویب نهایی قرار گرفت

دکتر علی خرمیان  
دکتر مهرداد قمی نژاد  
دکتر ابوالفضل میرجلیلی

۱- استاد راهنما  
۲- داور داخلی  
۳- داور خارجی

بِسْمِ اللَّهِ الرَّحْمَنِ الرَّحِيمِ

## قدردانی

در اینجا لازم است از کلیه‌ی افرادی که مرا در انجام این پروژه کمک نموده‌اند، خصوصاً استاد گرامی آقای «دکتر خرمیان» که در تمام مراحل انجام این پروژه با مساعدت‌ها و راهنمایی‌های بی‌دریغ خود مرا یاری کردند، تشکر کنم.

تقدیم به :

## پدر و مادر مهربانم

و

همسرم که صمیمانه در این راه یاریم نمود

## مطالعهٔ پراکندگی ناکشسان عمیق در فرآیند پراش

### چکیده

در این پایان نامه به بررسی فیزیک فرآیند پراش در پراکندگی ناکشسان ژرف خواهیم پرداخت. ابتدا عوامل مؤثر در شناخت این پدیده را از دیدگاه جنبشی شناسی و تئوری رژ بررسی کرده و سپس به معرفی پراش نرم و پراش سخت می‌پردازیم. در خاتمه اشاره‌ای به توابع توزیع پارتون پراشیده کرده و نحوه محاسبه آن را مختصراً از نظر می‌گذرانیم.

واژه‌های کلیدی: پراکندگی ناکشسان ژرف، تئوری رژ، پومرون، پراش سخت، تابع توزیع پارتون پراشیده

# فهرست مندرجات

۱	پراکندگی ناکشسان ژرف
۶	۱-۱ جنبش شناسی .....
۶	۲-۱ مدل پارتوونی .....
۱۰	۳-۱ آزمایشات تجربی بر روی DIS
۱۵	۴-۱ در $x$ کوچک DIS
۱۷	۲ جنبش شناسی فرآیند پراش
۱۸	۱-۲ فرآیندهای عمومی پراکندگی
۱۸	۲-۲ فرآیندهای دو-جسم
۲۰	۱-۲-۲ متغیرهای مندلستم
۲۰	۲-۲-۲ دستگاه مرکز-جرم
۲۱	۳-۲-۲ دستگاه آزمایشگاه
۲۴	۴-۲-۲ نواحی فیزیکی کانال های $s$ , $t$ و $u$
۲۵	۳-۲ فرآیندهای فرآگیر-واحد
۲۶	۴-۲ متغیر $x$ فاینمن ..
۲۷	۱

۳۰ ..... ۵-۲ تندی و گافهای تندی

۳۲ ..... ۶-۲ جنبش شناسی گسستگی پراش

### ۳ تئوری ریز

۳۴ ..... ۱-۳ ایده قطب ریز

۳۶ ..... ۲-۳ همگرایی در بسط پاره موج

۳۸ ..... ۳-۳ بررسی قطب‌های ریز در مکانیک کوانتومی و فیزیک نسبیتی

۴۲ ..... ۴-۳ مسیرهای ریز

۴۶ ..... ۵-۳ پومرون و اودرون

### ۴ بررسی پراش نرم

۵۱ ..... ۱-۴ سطح مقطع کل

۵۲ ..... ۲-۴ سطح مقطع کشسان

۵۵ ..... ۳-۴ گسستگی پراش

۵۷ ..... ۴-۴ پدیده شناسی پومرون

۵۷ ..... ۱-۴-۴ یافته‌های گذشته

۵۸ ..... ۲-۴-۴ پومرون در QCD

### ۵ بررسی پراش سخت

۶۱ ..... ۱-۵ مدل‌هایی برای پراش

فهرست مندرجات

۳

۶۲	.....	۲-۵ جنبش شناسی
۶۵	.....	۳-۵ فاکتور شارپومرون
۶۶	.....	۴-۵ ساختار پارتونی پومرون
۶۸	.....	۵-۵ تحلیل QCD تابع ساختار پراشیده
۶۸	.....	۱-۵-۵ برازش رژ و یافتن عرض از مبدأ
۶۹	.....	۲-۵-۵ توابع توزیع پراشیده
۷۰	.....	۳-۵-۵ عملیات برازش
۷۳	.....	A واژه‌نامهٔ فارسی به انگلیسی
۷۸	.....	B واژه‌نامهٔ انگلیسی به فارسی

# لیست اشکال

- ۱-۱ پراکندگی ناکشسان ژرف. . . . . ۷
- ۲-۱ دیاگرام تانسور هادرونی  $W^{\mu\nu}$ . . . . . ۱۱
- ۳-۱ توزیع‌های گلوئون و کوارک یکتا که از ZEUS استخراج شده است. . . . . ۱۶
- ۱-۲ الف) پراکندگی انحصاری دو جسم  $4 \rightarrow 3 + 2 \rightarrow 1 + 1$ ، ب) پراکندگی فرآیند ذره-واحد  $X \rightarrow 3 + 2 \rightarrow 1 + 1$ . . . . . ۱۹
- ۲-۲ الف) دستگاه مرکز جرم، ب) دستگاه آزمایشگاه. . . . . ۲۲
- ۳-۲ الف) ذره ۳ به عنوان پاره‌ای از ذره ۱ تولید شده است، ب) ذره ۳ به عنوان پاره‌ای از ذره ۲ تولید شده است، ج) ناحیه مرکزی  $x_F \simeq 0$ . . . . . ۲۹
- ۱-۳ مسیرهای مزونی پیشرو،  $\rho$ ،  $a_2$ ،  $\omega$  و . . . . . ۴۴
- ۲-۳ تبادل رژئون. . . . . ۴۶
- ۳-۳ مسیر پومرون با یک کاندیدای گلوئوبال . . . . . ۴۷
- ۱-۴ اختلاف  $\Delta\sigma_{tot}$  بر حسب انرژی. . . . . ۵۴

۲-۴ الف) پراکندگی کشسان در مدل Landshoff-polkinghorne، ب) فرآیند اساسی: پراکندگی کوارک-کوارک به واسطه پومرون.	۵۸
۱-۵ پراکندگی ناکشسان ژرف پراشیده.	۶۳
۲-۵ دیاگرام رژئون سه‌گانه.	۶۵
۳-۵ ساختار پارتونی پومرون.	۶۷
۴-۵ توزیع گلوئون و کوارک منفرد برای برازش A و B گروه H1.	۷۲

## فصل ۱

# پراکندگی ناکشسان ژرف

پراکندگی ناکشسان ژرف DIS<sup>۱</sup> یک مدل اولیه برای فرآیندهای هادرونی سخت است و یک آزمایش مهم و بسیار موفق برای QCD<sup>۲</sup> اختلالی و همچنین یک روش مستقیم برای کشف ساختار داخلی هادرон به شمار می‌رود.

در این بخش ما به جنبه‌هایی از این فرآیند می‌پردازیم که به موضوع اصلی ما، یعنی فرآیند پراش، مرتبط است بنابراین روی پراکندگی ناکشسان ژرف در  $x$  کوچک مرکز می‌شویم و پدیده‌های مرتبط با پراش را بررسی می‌کنیم.

### ۱-۱ جنبش شناسی

پراکندگی ناکشسان ژرف پراکندگی یک لپتون باردار با خنثی از یک هادرон است (شکل ۱-۱) که در آن انتقال تکانه بالاست و انرژی و زاویه پراکندگی لپتون خروجی اندازه‌گیری می‌شود

$$l(l) + N(P) \rightarrow l'(l') + X(P_X) \quad (1-1)$$

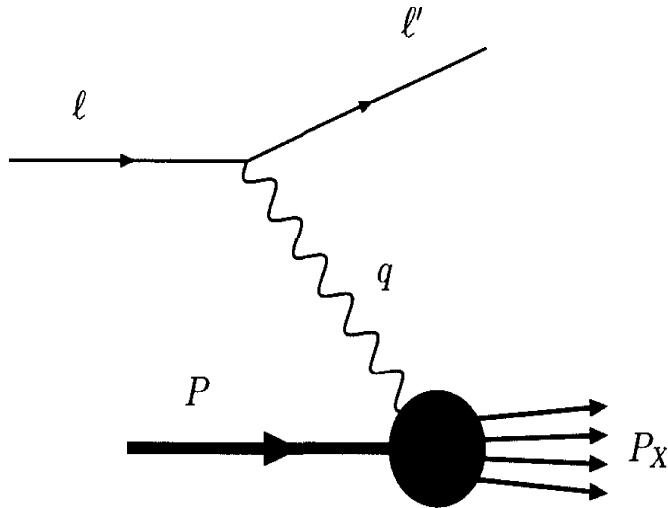
در اینجا  $X$  یک سیستم هادرونی کشف نشده است و چهاربردارهای تکانه داخل پرانتز نوشته شده است.

---

Deep Inelastic Scattering<sup>۱</sup>  
Quantum Chromodynamics<sup>۲</sup>

## فصل ۱ پراکندگی ناکشسان ژرف

۷



شکل ۱-۱: پراکندگی ناکشسان ژرف.

واکنش بالا با سه متغیر جنبشی توصیف می‌شود، یکی از آنها (انرژی لپتون ورودی  $E$  یا مجدور انرژی مرکز جرم  $(l + p)^2 = s$ ) با شرایط آزمایشگاهی ثابت نگه داشته می‌شود و دو تای دیگر متغیرهای وابسته ای هستند که معمولاً از میان متغیرهای زیر انتخاب می‌شوند [۱]

$$q^\gamma = -Q^\gamma = (l - l')^\gamma \quad (2-1)$$

$$W^\gamma = (P + q)^\gamma \quad (3-1)$$

$$\nu = \frac{P \cdot q}{m_N} = \frac{W^\gamma + Q^\gamma - m_N^\gamma}{2m_N} \quad (4-1)$$

$$x = \frac{Q^\gamma}{P \cdot q} = \frac{Q^\gamma}{m_N \nu} = \frac{Q^\gamma}{Q^\gamma + W^\gamma - m_N^\gamma} \quad (Bjorken's \ x) \quad (5-1)$$

$$y = \frac{P \cdot q}{P \cdot l} = \frac{W^\gamma + Q^\gamma - m_N^\gamma}{s - m_N^\gamma} \quad (6-1)$$

## فصل ۱ پراکندگی ناکشسان ژرف

۸

در چارچوب هدف ساکن،  $\nu$  انرژی منتقل شده است :  $\nu = E - E'$  (توجه داشته باشد که  $E$  و  $E'$  انرژی لپتون اولیه و انرژی لپتوننهایی است) و  $y$  (گاهی اوقات ناکشسانی نامیده می‌شود) کسری از انرژی لپتون فرودی است که توسط فوتون حمل می‌شود،  $y = \frac{\nu}{E}$ . یک رابطه مفید که  $x$ ،  $y$  و  $Q^2$  را به هم مربوط می‌کند بدین صورت است

$$xy = \frac{Q^2}{s - m_N^2} \sim \frac{Q^2}{s} \quad (7-1)$$

از آنجاییکه  $W^2 \geq m_N^2$  است ( $W^2$  مربع جرم ناوردای سیستم هادرونی  $X$  است) متغیر  $x$  بیورکن (و همچنین  $y$ ) مقادیر بین ۰ تا ۱ را می‌گیرد. اگر  $m_N \nu$  و  $Q^2$  هردو، خیلی بزرگتر از  $m_N^2$  باشند و  $x$  ثابت و محدود باشد، آنگاه می‌توان گفت که در ناحیه ناکشسان ژرف قرار داریم و در این ناحیه به راحتی می‌توان از جرم نوکلئون صرف نظر کرد. سطح مقطع برای چنین فرآیندی به این صورت است [۲]

$$d\sigma = \frac{1}{4(l.P)} \frac{1}{2} \sum_{s_l, s'_l} \frac{1}{2} \sum_S \sum_X \int \frac{dP_X}{(2\pi)^2 2P_X^\circ} (2\pi)^4 \times \delta^4(P + l - P_X - l') |M|^2 \frac{d^3 l'}{(2\pi)^2 2E'} \quad (8-1)$$

از آنجاییکه ما  $DIS$  غیرقطبیده را در نظر گرفتیم، در معادله (۱-۸) روی اسپین لپتون اولیه و اسپین نوکلئون میانگین گرفتیم و روی اسپین لپتوننهایی جمع زدیم. دامنه مربعی در (۱-۸) بدین صورت است

$$|M|^2 = \frac{e^4}{q^4} [\bar{u}_{l'}(l', s'_l) \gamma_\mu u_l(l, s_l)]^* [\bar{u}_{l'}(l', s'_l) \gamma_\nu u_l(l, s_l)] \times < X | J^\mu(\circ) | P, S >^* < X | J^\nu(\circ) | P, S > \quad (9-1)$$

که در اینجا  $(l, s_l)$  و  $(l', s'_l)$  به ترتیب اسپینور الکترون ورودی و خروجی هستند و خط دوم رابطه، فرآیند  $X \rightarrow p + \gamma$  را توصیف می‌کند. حال تانسور هادرونی  $W^{\mu\nu}$  را به این صورت تعریف می‌کنیم

$$W^{\mu\nu} = \frac{1}{2\pi} \frac{1}{2} \sum_S \sum_X \int \frac{d^3 P_X}{(2\pi)^2 2P_X^\circ} (2\pi)^4 \delta^4(P + q - P_X)$$

$$\times < P, S | J^\mu(\circ) | X > < X | J^\nu(\circ) | P, S >$$

## فصل ۱ پراکندگی ناکشسان ژرف

$$= \frac{1}{2\pi} \int d^4 z e^{iq.z} \langle N | J^\mu(z) J^\nu(0) | N \rangle \quad (10-1)$$

که در اینجا میانگین اسپین در حالت نوکلئون  $|N\rangle$  قرار گرفته است. تانسور لبتونی  $L_{\mu\nu}$  نیز اینگونه نمایش داده می‌شود

$$\begin{aligned} L_{\mu\nu} &= \frac{1}{2} \sum_{s_l, s'_l} [\bar{u}_{l'}(l', s'_l) \gamma_\mu u_l(l, s_l)]^* [\bar{u}_{l'}(l', s'_l) \gamma_\nu u_l(l, s_l)] \\ &= \frac{1}{2} Tr[\ell \gamma_\mu \ell' \gamma_\nu] \\ &= 2(l_\mu l'_\nu + l_\nu l'_m u - g_{\mu\nu} l.l'). \end{aligned} \quad (11-1)$$

اگر رابطه (۱-۹) را در (۱-۸) جایگذاری کنیم و از روابط (۱۰-۱) و (۱۱-۱) نیز استفاده کنیم، سطح مقطع دیفرانسیلی در چارچوب مرجع هدف ساکن، که در آن  $E = m_N E$  برقرار است، به این صورت نوشته می‌شود ( $\Omega = (\nu, \phi)$ ) زاویه‌ای است که راستای لپتون خروجی را مشخص می‌کند.

$$\frac{d\sigma}{dE'd\Omega} = \frac{\alpha_{em}^2}{2m_N Q^4} \frac{E}{E'} L_{\mu\nu} W^{\mu\nu} \quad (12-1)$$

تانسور هادرone  $W_{\mu\nu}$  به این صورت می‌تواند پارامتری شود

$$\begin{aligned} \frac{1}{2m_N} W_{\mu\nu} &= (-g_{\mu\nu} + \frac{q_\mu q_\nu}{q^2}) W_1(P.q, q^2) \\ &+ \frac{1}{m_N^2} [(p_\mu - \frac{P.q}{q^2} q_\mu)(p_\nu - \frac{P.q}{q^2} q_\nu)] W_2(P.q, q^2) \end{aligned} \quad (13-1)$$

بنابراین سطح مقطع  $DIS$  غیرقطبیده را بر حسب دوتابع ساختار  $W_1$  و  $W_2$  می‌توان اینگونه نوشت

$$\frac{d\sigma}{dE'd\Omega} = \frac{4\alpha_{em}^2 E'^2}{Q^4} [2W_1 \sin^2 \frac{\nu}{2} + W_2 \cos^2 \frac{\nu}{2}] \quad (14-1)$$

همانطور که دیده می‌شود سطح مقطع  $DIS$  غیرقطبی به زاویه پراکندگی  $\nu$  بستگی دارد، نه به زاویه سمتی  $\phi$  که بتوان روی آن انتگرال گرفت. مرسوم است که توابع ساختار بدون بعد زیر را تعریف کنیم

$$F_1(x, Q^2) = m_N W_1(\nu, Q^2)$$

$$F_2(x, Q^2) = \nu W_2(\nu, Q^2) \quad (15-1)$$

بیورکن (۱۹۶۹) ثابت کرد که در حد های  $x = \frac{Q^2}{2m_N\nu} = C$  و  $F_1, \nu, Q^2 \rightarrow \infty$  باید توزین شوند. این حد متغیرها به حد بیورکن معروف است.

تansور هادرone بر حسب  $F_1$  و  $F_2$  به این صورت نوشته می شود

$$W_{\mu\nu} = 2(-g_{\mu\nu} + \frac{q_\mu q_\nu}{q^2})F_1(x, Q^2)$$

$$+ \frac{2}{P.q}[(p_\mu - \frac{P.q}{q^2}q_\mu)(p_\nu - \frac{P.q}{q^2}q_\nu)]F_2(x, Q^2) \quad (16-1)$$

و سطح مقطع  $DIS$  به صورت تابعی از  $x$  و  $y$ ، به این شکل است:

$$\frac{d\sigma}{dxdy} = \frac{4\pi\alpha_e^2 s}{Q^4} xy F_1(x, Q^2) + (1-y - \frac{xy m_N^2}{s})F_2(x, Q^2) \quad (17-1)$$

در نهایت تابع ساختار طولی و انتقالی را تعریف می کنیم

$$F_T = 2xF_1 \quad (18-1)$$

$$F_L = F_2 - 2xF_1 \quad (19-1)$$

.  $F_2 = F_L + F_T$  توجه داشته باشید که

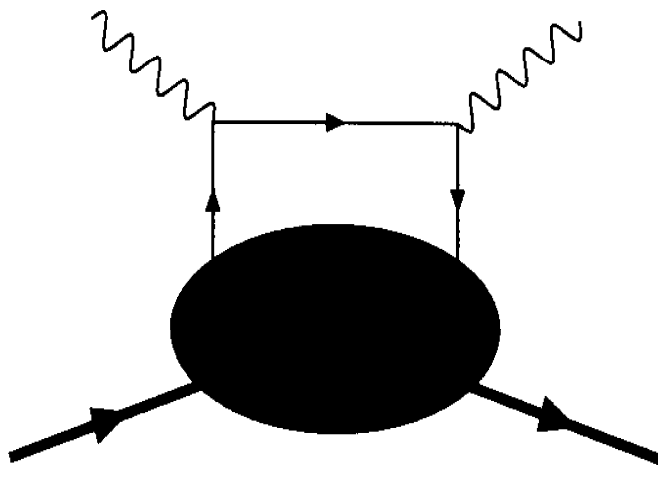
## ۱-۲ مدل پارتونی

اساس مدل پارتونی براین فرض است که فوتون مجازی از محتویات درون نوکلئون، که به صورت ذرات آزاد رفتار می کنند، به صورت واگرا پراکنده می شود.

در این صورت تansور هادرone  $W^{\mu\nu}$  به صورت دیاگرامی که در شکل ۱-۲ آمده است نشان

داده می شود [۴]

$$W^{\mu\nu} = \frac{1}{\gamma\pi} \sum_a e_a^2 \sum_X \int \frac{d^4 P_X}{(2\pi)^4 2P_X^\circ} \int \frac{d^4 k}{(2\pi)^4} \int \frac{d^4 k}{(2\pi)^4} \delta(k^2)$$



شکل ۱-۲: دیاگرام تانسور هادرولوئی  $W^{\mu\nu}$ .

$$\times [\bar{u}(k)\gamma^\mu\phi(k, P)]^*[\bar{u}(k)\gamma^\mu\phi(k, \rho)]$$

$$\times (2\pi)^4\delta^4(P - k - P_X)(2\pi)^4\delta^4(k + q - \kappa) \quad (20-1)$$

که در این رابطه  $\sum_a$  جمع روی طعم کوارک ها و  $e_a$  بار کوارک است، همچنین تابع برداری کوارک – نوکلئون نیز معرفی شده است

$$\phi(k, P) = \langle X | \psi(\circ) | N \rangle \quad (21-1)$$

ماتریس همبستگی کوارک – کوارک  $\phi(k, P)$  را اینگونه معرفی می‌کنیم

$$\phi(k, P) = \sum_X \int \frac{d^4 P_X}{(2\pi)^4 2P_X^\circ} (2\pi)^4\delta^4(P - k - P_X)\phi(k, P)\bar{\phi}(k, P) \quad (22-1)$$

بنابراین تانسور هادرولوئی را می‌توان به این صورت بازنویسی کرد

$$W^{\mu\nu} = \sum_a e_a^\gamma \int \frac{d^4 k}{(2\pi)^4} \int \frac{d^4 k}{(2\pi)^4} \delta(k^\gamma) (2\pi)^4\delta^4(k + q - k) Tr[\Phi \gamma^\mu k \gamma^\nu]$$

## فصل ۱ پراکندگی ناکشسان ژرف

۱۲

$$= \sum_a e_a^\gamma \int \frac{d^4 k}{2\pi^4} \delta((k+q)^\gamma) Tr[\Phi \gamma^\mu (k+q) \gamma^n] \quad (23 - 1)$$

با استفاده از تعریف ماتریس همبستگی در رابطه (۲۱-۱) و کامل بودن ویژه حالت های  $|X\rangle$ ، می‌توان ماتریس همبستگی  $\Phi$  را با رابطه زیر بطور شفاف تر بازنویسی کرد

$$\Phi_{ij}(k, P) = \int d^4 \xi e^{ik \cdot \xi} \langle N | \bar{\psi}_j(0) \psi_i(\xi) | N \rangle \quad (24 - 1)$$

حال دوشبه بردار  $p^\mu$  و  $n^\mu$  را معرفی می‌کنیم بطوری که این شرایط را برآورده کنند:  $o \cdot p^- = n^+ = 0$  و  $A^\mu$  بنابراین ماتریس عمومی  $A^\mu = n^\gamma = o \cdot p \cdot n = 1$

$$A^\mu = \alpha p^\mu + \beta n^\mu + A_+^\mu = (A \cdot n)p^\mu + (A \cdot p)n^\mu + A_+^\mu \quad (25 - 1)$$

که در اینجا  $(0, A_+, o)$  در صفحه‌ای قرار دارد که بر  $\gamma^* N$  (محور  $z$ ) عمود است. تکانه نوکلئون،  $P$ ، را می‌توان بر حسب  $p$  و  $n$  تجزیه کرد

$$P^\mu = p^\mu + \frac{m_N^\gamma}{2} n^\mu \quad (26 - 1)$$

که اگر از جرم نوکلئون صرف نظر شود (این حالت در حدود پراکندگی ناکشسان ژرف برقرار است) تکانه نوکلئون با  $p$  برابر است

$$P^\mu = p^\mu \quad (27 - 1)$$

تکانه فوتون مجازی نیز به این صورت نوشته می‌شود

$$q^\mu \sim (P \cdot q) n^\mu - x p^\mu \quad (28 - 1)$$

و در نهایت شبه بردار تکانه کوراک بدین صورت تجزیه می‌شود

$$k^\mu = \alpha p^\mu + \frac{k^\gamma + k_\pm^\gamma}{2\alpha} n^\mu + k_+^\mu \quad (29 - 1)$$

در مدل پارتونی  $k_\pm^\gamma$  و  $k^\gamma$  کوچک در نظر گرفته می‌شوند، بنابراین می‌توان  $k^\mu$  را به این صورت تقریب زد

$$k^\mu \sim \alpha p^\mu \quad (30 - 1)$$

## فصل ۱ پراکندگی ناکشسان ژرف

۱۳

کوارک خارج شده در رابطه (۲۹-۱) ایجاب می کند که

$$\delta((k+q)^{\gamma}) \sim \delta(-Q^{\gamma} + 2\alpha P.q) = \frac{1}{2P.q} \delta(\alpha - x) \quad (31-1)$$

بنابراین:

$$k^{\mu} \sim x P^{\mu} \quad (32-1)$$

و متغیر  $x$  بیورکن کسری از تکانه طولی پروتون است که توسط کوارک ضربه خورده حمل می شود

$$x = \frac{k^{+}}{P^{+}} \quad (33-1)$$

حال به تانسور هادرونی بازمی گردیم، اتحاد

$$\gamma^{\mu} \gamma^{\rho} \gamma^{\nu} = (g^{\mu\rho} g^{\nu\sigma} + g^{\mu\sigma} g^{\nu\rho} - g^{\mu\nu} g^{\rho\sigma}) \gamma_{\sigma} - i e^{\mu\rho\nu\sigma} \gamma_{\sigma} \gamma^5 \quad (34-1)$$

که در مرجع [۴] آمده است، اجازه می دهد که تانسور  $W^{\mu\nu}$  به دو قسمت متقارن ( $S$ ) و پادمتقارن ( $A$ ) تحت تبدیل  $\nu \leftrightarrow \mu$  شکسته شود که تنها  $W_{\mu\nu}^{(S)}$  در پراکندگی ناکشسان ژرف غیرقطبیده شرکت می کند. از آنجاییکه در این مورد تانسور لپتونی متقارن است، بنابراین  $W_{\mu\nu}^{(S)}$  به این صورت نوشته می شود

$$\begin{aligned} W_{\mu\nu}^{(S)} &= \frac{1}{2(P.q)} \sum_a e_a^{\gamma} \int \frac{d^4 k}{(2\pi)^4} \delta(x - \frac{k^{+}}{P^{+}}) \\ &\times [(k_{\mu} + q_{\mu}) Tr(\Phi \gamma_{\nu}) + (k_{\nu} + q_{\nu}) Tr(\Phi \gamma_{\mu}) \\ &- g_{\mu\nu} (k^r + q^r) Tr(\Phi \gamma_r)] \end{aligned} \quad (35-1)$$

از رابطه (۱-۲۸) و (۱-۳۲) داریم:  $k_{\mu} + q_{\mu} \sim (P.q) n_{\mu}$ ، بنابراین رابطه (۱-۳۵) به این صورت درمی آید

$$\begin{aligned} W_{\mu\nu}^{(S)} &= \frac{1}{2(P.q)} \sum_a e_a^{\gamma} \int \frac{d^4 k}{(2\pi)^4} \delta(x - \frac{k^{+}}{P^{+}}) \\ &\times [n_{\mu} Tr(\Phi \gamma_{\nu}) + n_{\nu} Tr(\Phi \gamma_{\mu}) - g_{\mu\nu} n^{\rho} Tr(\Phi \gamma_r)] \end{aligned} \quad (36-1)$$

## فصل ۱ پرائندگی ناکشسان ژرف

۱۴

در اینجا مناسب است که نماد جدید  $\langle \Gamma \rangle$  را به صورت زیر معرفی کنیم [۴]

$$\begin{aligned} \langle \Gamma \rangle &= \int \frac{d^4 k}{(2\pi)^4} \delta(x - \frac{k^+}{P^+}) Tr(\Gamma \Phi) \\ &= P^+ \int \frac{d\xi^-}{2\pi} e^{ixP^+\xi^-} \langle N | \bar{\psi}(\circ) \Gamma \psi(\circ, \xi^-, o_+) | N \rangle \\ &= \int \frac{d\tau}{2\pi} e^{i\tau x} \langle N | \bar{\psi}(\circ) \Gamma \psi(\tau n) | N \rangle \end{aligned} \quad (37-1)$$

قابل ذکر است که  $\langle \Gamma \rangle$  تابعی از متغیر  $x$  بیورکن می‌باشد، بنابراین  $W_{\mu\nu}^{(s)}$  را به این صورت می‌توان نوشت

$$W_{\mu\nu}^{(s)} = \sum_a \frac{e_a^\gamma}{\gamma} [n_\mu \langle \gamma_\nu \rangle + n_\nu \langle \gamma_\mu \rangle - g_{\mu\nu} n^\rho \langle \gamma_r \rangle] \quad (38-1)$$

حال باید  $\langle \gamma^\mu \rangle$  که یک کمیت برداریست، عامل بندی شود (یادآوری: در مرتبه محاسبات ما

$$(xP^\mu \sim k^\mu \sim n^\mu = O(\frac{1}{P^+}), p^\mu = P^\mu)$$

$$\begin{aligned} \langle \gamma^\mu \rangle &= \int \frac{d^4 k}{(2\pi)^4} \delta(x - \frac{k^+}{P^+}) Tr(\gamma^\mu \Phi) \\ &= \int \frac{d\tau}{2\pi} e^{ix} \langle N | \bar{\psi}(\circ) \gamma^\mu \psi(\tau n) | N \rangle \\ &= \gamma f_q(x) P_\mu \end{aligned} \quad (39-1)$$

که در اینجا  $f_q$  چگالی تعداد کوارکهاست، ضرب (۳۹-۱) در  $n_\mu$  فرم صریحی از  $f_q(x)$  را می‌دهد.

$$f_q(x) = \int \frac{d\xi^-}{2\pi} e^{ixP^+\xi^-} \langle N | \bar{\psi}(\circ) \gamma^+ \psi(\circ, \xi^-, o_\perp) | N \rangle \quad (40-1)$$

که در اینجا  $\gamma^+ = (\gamma^\circ + \gamma^3)/\sqrt{2}$  است. با قرار دادن (۳۸-۱) در (۳۹-۱) این رابطه برای تانسور هادرone به دست می‌آید (یادآوری  $P.n = 1$ )

$$W_{\mu\nu}^{(S)} = \sum_a (n_\mu p_\nu + n_\nu p_\mu - g_{\mu\nu}) f_q(x) \quad (41-1)$$

تابع ساختار  $F_1$  و  $F_2$  می‌تواند به وسیله دو پروژکتور  $\varphi_1$  و  $\varphi_2$  از  $W^{\mu\nu}$  خارج شود [۵] (از جملات مرتبه  $\frac{1}{Q^4}$  صرف نظر شده است).

$$F_1 = \varphi_1^{\mu\nu} W_{\mu\nu} = \frac{1}{\varphi} (\frac{4x^2}{Q^4} P_\mu P_\nu - g^{\mu\nu}) W_{\mu\nu} \quad (42-1)$$